

504

単相籠形誘導電動機の空間高調波についての一考察

法政大学 工学部 斎藤兆古

1. まえがき 一次の矩形波状起磁力分布と二次導体によって生ずる空間高調波を考慮した单相誘導電動機の解析を行つたので報告します。

2. 理論 一次が2P極であるとき、一次矩形波起磁力分布に起因して生ずる空間高調波の次数 $L_1 = 2h+1 = 1, 3, 5, \dots$ の持つ極数は $2PL_1$ であり、二次導体一本によつて生ずる空間高調波 $L_2 = 1, 2, 3, \dots$ は $2L_2$ 極を持ち、更に二次は各導体が一相を形成する(=二次導体数)相星形結線とみなしえる。又、一次ニ次間で相互インダクタンスが存在するには極数が一致しなければならぬから⁽¹⁾、 $2L_2 = 2PL_1$ 即ち、 $L_2 = PL_1$ なる次数については相互インダクタンスが存在する。以上のように一次单相ニ次相のインピーダンスマトリックスは(1)式となる。

$$[\mathbf{Z}] = \begin{array}{|c|c|c|c|c|} \hline R_1 + D\left\{l_1 + \sum_{j_1} L_{Pj_1}\right\} & D\sum_{j_1} M_{Pj_1} \cos L_1 j_1 \theta & D\sum_{j_1} M_{Pj_1} \cos L_1 (\theta + \frac{2\pi j_1}{n}) & \cdots & D\sum_{j_1} M_{Pj_1} \cos L_1 (\theta + \frac{n-1}{n} 2\pi j_1) \\ \hline D\sum_{j_1} M_{Pj_1} \cos L_1 \theta & R_2 + D\left\{l_2 + \sum_{j_2} L_{j_2}\right\} & D\sum_{j_2} L_{j_2} \cos \frac{2\pi}{n} j_2 L_2 & \cdots & D\sum_{j_2} L_{j_2} \cos \frac{n-1}{n} 2\pi j_2 L_2 \\ \hline D\sum_{j_1} M_{Pj_1} \cos L_1 (\theta + \frac{2\pi j_1}{n}) & D\sum_{j_2} L_{j_2} \cos \frac{2\pi}{n} j_2 L_2 & R_2 + D\left\{l_2 + \sum_{j_2} L_{j_2}\right\} & \cdots & D\sum_{j_2} L_{j_2} \cos \frac{n-2}{n} 2\pi j_2 L_2 \\ \hline \vdots & \vdots & \vdots & \vdots & \vdots \\ \hline D\sum_{j_1} M_{Pj_1} \cos L_1 (\theta + \frac{n-1}{n} 2\pi j_1) & D\sum_{j_2} L_{j_2} \cos \frac{n-1}{n} 2\pi j_2 L_2 & D\sum_{j_2} L_{j_2} \cos \frac{n-1}{n} 2\pi j_2 L_2 & \cdots & R_2 + D\left\{l_2 + \sum_{j_2} L_{j_2}\right\} \\ \hline \end{array} \quad \cdots (1)$$

R_1, R_2 : 一次ニ次の抵抗 l_1, l_2 : 一次ニ次の漏洩インダクタンス

L_{Pj_1}, L_{j_2} : 高調波に対する一次ニ次の自己インダクタンス M_{Pj_1} : 高調波に対する一次ニ次間の相互インダクタンス θ : 電気角に換算された極角 $D = \frac{d\theta}{dt}$

$$[n] = \frac{1}{\sqrt{n}} \begin{vmatrix} \sqrt{n} & & & & \\ \hline & 1 & 1 & \cdots & 1 \\ & 1 & \alpha & \cdots & \alpha^{n-1} \\ \hline \vdots & \vdots & \vdots & \vdots & \vdots \\ \hline & 1 & \alpha^{n-1} & \cdots & \alpha \end{vmatrix}$$

… (2)

$$[\mathbf{Z}]' = [n] \cdot [\mathbf{Z}] \cdot [n]^* \quad \cdots (3)$$

$$\alpha = e^{i\frac{2\pi}{n}}$$

t : 転置 *: 失役

(1)式を(2)式に示すマトリックスを用いて(3)式の演算で座標変換を行なう。(3)式の演算結果をニ次の零相分とする次数を除いて、 $Pj_1 = gn+r = p(2h+1)$, $Pj_1' = (1+g')n-r = p(2h'+1)$ として(4)式に示す。今、一次に $\sqrt{2}V \cos \omega t = \frac{\sqrt{2}}{\sqrt{n}}(e^{i\omega nt} + e^{-i\omega nt})$ なる電圧が印加されていふとしたとき、(4)式で各高調波電流が全く独立して存在し、一次回路に高調波電流が流れないと仮定すると、電流は(6)式の如く書ける。トルクは $\frac{d\theta}{dt} = \omega_m = (1-s)\omega$ として(5)式で計算される⁽²⁾。

$$[\mathbf{Z}]' = \begin{array}{|c|c|c|c|} \hline R_1 + D\left\{l_1 + \sum_{j_1} L_{Pj_1}\right\} & \cdots & D\frac{\sqrt{n}}{2} \left\{ \sum_{j_1} M_{j_1}^* e^{i(gn+r)\frac{\theta}{P}} + \sum_{j_1} M_{j_1}^* e^{-i(\bar{g}n-\bar{r})\frac{\theta}{P}} \right\} & D\frac{\sqrt{n}}{2} \left\{ \sum_{j_1} M_{j_1}^* e^{i(\bar{g}n+\bar{r})\frac{\theta}{P}} + \sum_{j_1} M_{j_1}^* e^{-i(\bar{g}n-\bar{r})\frac{\theta}{P}} \right\} & \cdots \\ \hline \vdots & \cdots & \cdots & \cdots \\ \hline D\frac{\sqrt{n}}{2} \left\{ \sum_{j_1} M_{j_1}^* e^{-i(gn+r)\frac{\theta}{P}} + \sum_{j_1} M_{j_1}^* e^{i(\bar{g}n-\bar{r})\frac{\theta}{P}} \right\} & R_2 + D\left\{l_2 + \frac{n}{2} \sum_{j_2} L_{gn+r}\right\} & \cdots & \cdots \\ \hline \vdots & \cdots & \cdots & \cdots \\ \hline D\frac{\sqrt{n}}{2} \left\{ \sum_{j_1} M_{j_1}^* e^{i(gn+r)\frac{\theta}{P}} + \sum_{j_1} M_{j_1}^* e^{-i(\bar{g}n-\bar{r})\frac{\theta}{P}} \right\} & \cdots & R_2 + D\left\{l_2 + \frac{n}{2} \sum_{j_2} L_{gn+r}\right\} & \cdots \\ \hline \end{array} \quad \cdots (4)$$

$$\tau = \frac{P}{4\omega_m} \left[[I]_t^* \cdot \left\{ \frac{d}{dt} [\mathbf{Z}]' \right\} \cdot [I] \right] \quad \cdots (5)$$

(5) 式で、特定の $P\omega_1$ と $P\omega_1'$ なる次数の高調波に起因する結果は、 $\tau' = \tau_1 + \tau_1' + \tau_2 + \tau_2' + \tau_3 + \tau_3' + \tau_4 + \tau_4'$ として $\tau'' = \tau' + \tau'^*$ となる。ここで各項は(7)式に示してある。

$I_1 e^{j\omega t} + I_1' e^{-j\omega t}$ \vdots $[I] = \sum_g \left\{ I_1 e^{j\{\omega x - (gn+r)\frac{\theta}{P}\}} + I_1' e^{-j\{\omega x - (gn+r)\frac{\theta}{P}\}} \right\} + \sum_g \left\{ I_2 e^{j\{\omega x - (1+\frac{g}{2}n-r)\frac{\theta}{P}\}} + I_2' e^{-j\{\omega x - (1+\frac{g}{2}n-r)\frac{\theta}{P}\}} \right\}$ \vdots $\sum_g \left\{ I_3 e^{j\{\omega x + (gn+r)\frac{\theta}{P}\}} + I_3' e^{-j\{\omega x + (gn+r)\frac{\theta}{P}\}} \right\} + \sum_g \left\{ I_4 e^{j\{\omega x - (1+\frac{g}{2}n-r)\frac{\theta}{P}\}} + I_4' e^{-j\{\omega x - (1+\frac{g}{2}n-r)\frac{\theta}{P}\}} \right\}$ \vdots	$\dots (6)$
$\tau_1 = j \frac{\sqrt{n(gn+r)}}{4\omega_m} M_{gn+r} \left\{ I_1^* I_{gn+r} + I_1' I_{gn+r}' \right\}, \quad \tau_1' = j \frac{\sqrt{(1+g)n-r}}{4\omega_m} M_{1+gn-r} \left\{ I_1^* I_{1+gn-r} + I_1' I_{1+gn-r}' \right\}, \quad \tau_2 = j \frac{\sqrt{n(gn+r)}}{4\omega_m} \left\{ I_2^* I_{gn+r} e^{j2\omega t + (1+g+g')\frac{\pi\theta}{P}} + I_2' I_{gn+r}' e^{-j2\omega t - (1+g+g')\frac{\pi\theta}{P}} \right\} M_{gn+r}, \quad \tau_2' = j \frac{\sqrt{(1+g)n-r}}{4\omega_m} \left\{ I_2^* I_{1+gn-r} e^{j2\omega t + (1+g+g')\frac{\pi\theta}{P}} + I_2' I_{1+gn-r}' e^{-j2\omega t - (1+g+g')\frac{\pi\theta}{P}} \right\} M_{1+gn-r}, \quad \tau_3 = j \frac{\sqrt{n(gn+r)}}{4\omega_m} M_{gn+r} \left\{ I_3^* I_{gn+r} e^{j(1+g+g')\frac{\pi\theta}{P}} + I_3' I_{gn+r}' e^{j(1+g+g')\frac{\pi\theta}{P}} \right\}, \quad \tau_3' = j \frac{\sqrt{(1+g)n-r}}{4\omega_m} M_{1+gn-r} \left\{ I_3^* I_{1+gn-r} e^{j(1+g+g')\frac{\pi\theta}{P}} + I_3' I_{1+gn-r}' e^{j(1+g+g')\frac{\pi\theta}{P}} \right\}, \quad \tau_4 = j \frac{\sqrt{n(gn+r)}}{4\omega_m} M_{gn+r} \left\{ I_4^* I_{gn+r} e^{j2\omega t} + I_4' I_{gn+r}' e^{-j2\omega t} \right\}, \quad \tau_4' = j \frac{\sqrt{(1+g)n-r}}{4\omega_m} M_{1+gn-r} \left\{ I_4^* I_{1+gn-r} e^{j2\omega t} + I_4' I_{1+gn-r}' e^{-j2\omega t} \right\}$	$\dots (7)$

ここで τ_1, τ_1' は非同期トルク、 τ_2, τ_2' は同期トルク。その同期速度は $\theta = (1-s)\omega_1$ として指數の項が零となる滑りである。即ち $s = 1 \pm 2P/(1+g+g')n$ の滑りである。これは $P\omega_1 = gn+r$ と $P\omega_1' = (1+g')n-r$ の次数の相手イソダクタスが(4)式中で同行同列となるためである。このときのニ次導体数と極数の関係は、 $(1+g+g')n = 2P(h+h'+1)$ であって、このトルクには、 $I_1 + I_1' = (1+g+g')n/P$ を満足する高調波のすべてが同時に寄与する。 τ_3, τ_3' は速度によつて変化する振動トルクであり、 τ_4, τ_4' は電源の2倍の周波数をもつ振動（無効振動トルク）トルクである。

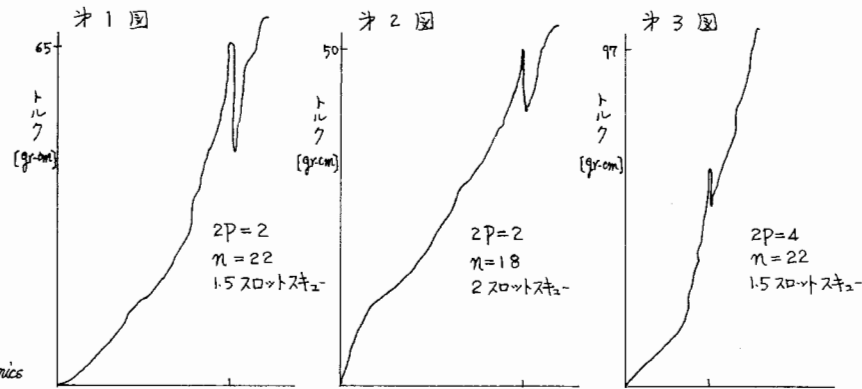
3. 実験 実験例を第1図～第3図に示し、理論よりこの同期トルクに寄与する高調波の計算例と同期速度の計算値を第1表に示してある。

4. 結 言

定性的であるか
実験的に理論か
証明できた。
竜形回転子を有
する竜形回転子の高
調波に対する有
力な理論である
と思われる⁽³⁾。

文 献

- (1) Staf : Electrodynamics of Electrical Machines.
- (2) Nasar : Electromagnetic Devices and Systems.
- (3) 有藤：m相竜形竜導回転子の高次調波に関する一考察：電学誌掲載中



$n=22$	1	3	5	7	9	11	13	15	17	19	21	273 [r/min]
$P=1$	1	21	19	17	15	13	11	9	7	5	3	1
$n=18$	1	3	5	7	9	11	13	15	17			333 [r/min]
$P=1$	1	17	15	13	11	9	7	5	3	1		
$n=22$	1	3	5	7	9	11	13	15	17	19	21	136 [r/min]
$P=2$	1	21	19	17	15	13	11	9	7	5	3	1

第1表